

## DENEYSEL AORTİK İSKEMİ-REPERFÜZYON MODELİNDE RENAL HASARA GADOLINYUM KLORÜRÜN ETKİSİ

### THE EFFECT OF GADOLINIUM CHLORIDE ON RENAL INJURY IN THE MODEL OF EXPERIMENTAL AORTIC ISCHEMIA-REPERFUSION

Dr. İlker Kiriş\*, Dr. Hüseyin OKUTAN\*, Dr. Çağrı SAVAŞ\*\*, Dr. Zafer YÖNDEN\*\*\*, Dr. Namık DELİBAŞİ\*\*\*

Süleyman Demirel Üniversitesi, Tıp Fakültesi, \*Kalp ve Damar Cerrahisi ABD., \*\*Çocuk Cerrahisi ABD.,

\*\*\*Biyokimya ABD., Isparta.

#### Özet

**Amaç:** Bu deneysel çalışmamızın amacı, rat infrarenal aort iskemi-reperfüzyon modelinde, böbreklerde olacak iskemi-reperfüzyon hasarını, böbrek dokusunda antioksidan enzim düzeylerini ölçerek saptamak ve bu hasara gadolinium klorür ( $GdCl_3$ )’ün etkisini araştırmaktır.

**Yöntem:** Otuz iki adet rat, eftit sayıda ( $n = 8$ ) ve rast gele olarak dört deney grubundan birine dahil edildi: SHAM (sham laparotomi), SHAM + KHB (sham laparotomi ve Kupffer hücre blokajı), AIR (aortik iskemi reperfüzyon), AIR + KHB (aortik iskemi-reperfüzyon ve Kupffer hücre blokajı). Deneyden 24 saat önce  $GdCl_3$  verilerek Kupffer hücre blokajı oluşturuldu. AIR grubunda, infrarenal aortaya mikrovasküler klemp konularak 30 dakika iskemi ve klemp kaldırılarak 60 dakika reperfüzyon yaratıldı. Ratlar sakrifiye edildi ve böbrekleri çkartıldı. Böbrek dokusunda miyeloperoksidad (MPO), süperoksit dismutaz (SOD) katalaz (KAT) aktiviteleri ve malondialdehit (MDA) düzeyi ölçüldü.

**Bulgular:** Diğer üç grup ile karşılaştırıldığında, AIR grubuna ait MPO, SOD, KAT aktiviteleri ve MDA düzeyi istatistiksel olarak anlamlı derecede daha yükseltti ( $p < 0.05$ ).  $GdCl_3$  ile Kupffer hücre blokajı yapılan AIR+KHB grubu, AIR grubu ile karşılaştırıldığında ise, AIR+KHB grubuna ait MPO, SOD, KAT aktiviteleri ve MDA düzeyi istatistiksel olarak anlamlı derecede daha düştük bulundu ( $p < 0.05$ ).

**Sonuç:**  $GdCl_3$  kullanarak Kupffer hücre blokajı oluşturulan ratlarda infrarenal AIR sonucunda böbreklerde olusan uzak organ hasarı azalmaktadır. (Damar Cer Der 2005;14(2):13-18).

**Anahtar Kelimeler:** Infrarenal aort; iskemi-reperfüzyon; gadolinium klorür, Kupffer hücreleri; böbrek

#### Abstract

**Purpose:** The aim of the present study was to examine the effect of gadolinium chloride ( $GdCl_3$ ) on aortic occlusion-reperfusion induced remote organ injury in kidney by assaying antioxidant enzymes in the kidney tissues.

**Methods:** Thirty-two rats were randomly allocated to four groups as follows: SHAM (sham laparotomy), SHAM + KCB (sham laparotomy + Kupffer cell blockage), AIR (aortic ischemia reperfusion) and AIR + KCB (aortic ischemia reperfusion + Kupffer cell blockage).  $GdCl_3$  was given 24 hours prior to experiment. An autraumatic microvascular clamp was placed across the infrarenal abdominal aorta (IAA) just after its origin from the aorta for 30 minutes. The microvascular clamp on the IAA was removed and reperfused for 60 minutes. Kidney malondialdehyde (MDA) level and myeloperoxidase (MPO), superoxide dismutase (SOD) and catalase (CAT) activities were assayed in the kidney tissues.

**Results:** MDA level and MPO, SOD and CAT activities in the AIR group were significantly higher than that in the other groups ( $p < 0.05$ ). When compared to AIR group, KCB with  $GdCl_3$  significantly decreased MDA level and MPO, SOD and CAT activities in the AIR + KCB group ( $p < 0.05$ ).

**Conclusion:** This experimental study showed that Kupffer cell blockage with  $GdCl_3$  attenuates ischemia-reperfusion injury in kidney induced by infrarenal aortic occlusion-reperfusion. (Turkish J Vasc Surg 2005;14(2):13-18).

**Keywords:** Infrarenal aorta; ischemia-reperfusion; gadolinium chloride, Kupffer cells; kidney

#### İlker KİRİŞ

İstiklal Mh. 1106 S. No: 9,

Kat: 2, 32300, Isparta

Tel : 0 246 2231495

Faks : 0 246 2326280

E-mail : kirisilker@yahoo.com

# GİRİŞ

Abdominal aort cerrahisinde, ameliyat sonrası dönemde önemli bir mortalite nedeni olan böbrek yetmezliği en sık rastlanan komplikasyonlardan birisidir<sup>(1)</sup>. Renal disfonksiyon etyolojisinde, aortik kros klemp ve iskemi-reperfüzyon hasarı önemli bir yer tutar<sup>(2)</sup>. Aortanın klemplenmesi iskemi oluşturanken, aortik kros klempin kaldırılması sonrası, alt ekstremitelere dolanınan ani olarak yeniden sağlanmasa reperfüzyon hasarına bağlı ve bu fenomen iskemi reperfüzyon hasarı olarak tanımlanır<sup>(3)</sup>. Aortik iskemi reperfüzyon (A-R) hasarı sonrasında serbest oksijen radikallerinin, sistemik vazokonstriktörlerin salınması ve nötrofillerin aktivasyonu, böbrekle birlikte birçok organda uzak doku hasarına yol açmaktadır<sup>(3)</sup>.

Karaciğer, retiküloendotelial sistem (RES) aktivitesinin gerçekleştiği baflıca anatomik bölge dir ve vücuttaki toplam RES fonksiyonunun yaklaşık %80'inden sorumludur<sup>(4)</sup>. Kupffer hücreleri, karaciğerde yer alan makrofaj hücreleridir. Hepatik iskemi reperfüzyon hasarı patogenezinde, aktive olmamış Kupffer hücrelerinden ve endotelial hücrelerden salınan mediatörler anahtar bir role sahiptir<sup>(5)</sup>. Gadolinium chloride ( $\text{GdCl}_3$ ) Kupffer hücre fonksiyonunun inhibe etmektedir ve karaciğer transplantasyonunda iskemi-reperfüzyon hasarı nedenli greft disfonksiyonunu önlediği bildirilmektedir<sup>(6)</sup>. Ayrıca,  $\text{GdCl}_3$  ile Kupffer hücre blokajının, intestinal iskemi-reperfüzyonun indüklediği akut akciğer hasarına azaltıcı, merkezimizden yapılan bir çalışmada gösterilmiştir<sup>(7)</sup>.

$\text{GdCl}_3$ 'ün, Kupffer hücre blokajı yoluyla, aortik iskemi reperfüzyon sonrası akciğerde uzak organ hasarına azaltıcı etkisi de, merkezimizden yapılan bir diğer çalışmada daha önce bildirilmiştir<sup>(8)</sup>. Bu deneysel çalışmamızın amacı, rat infrarenal aort iskemi-reperfüzyon modelinde, böbreklerde olacak iskemi-reperfüzyon hasarı, böbrek dokusunda antioksidan enzim düzeylerini ölçerek saptamak ve bu hasara  $\text{GdCl}_3$ 'ün etkisini araştırmaktır.

## HASTALAR ve YÖNTEM

Üniversite hayvan laboratuvarından elde edilen, her iki cinsten, aralarında 200-250 g arasında olan 32 adet Wistar-Albino cinsi rat çalıştırılmaya alındı. Ratların tutulduğu kafeslerde sağ ve aydınlatılarak karantina döngülerinin kontrolü sağlanmıştır. Deneyden 12 saat önce, su hariç beslenmeleri durduruldu. Tüm ratların bakım, Tıbbi Araştırmalar Ulusal Derneği tarafından biçimlendirilen ‘Deney Hayvanları’ın Bakım Prensipleri’ne ve Laboratuvar Hayvan Kaynakları Enstitüsü tarafından hazırlanan (NIH basım no.85-23, 1985 revize edildi) ‘Laboratuvar Hayvanları’ın Bakım ve Kullanımı için Kılavuz’una uygun olarak yapıldı. Çalışma protokolü ve deneysel metod Süleyman Demirel Üniversitesi Etik Kurulu tarafından onaylandı.

### Aortik İskemi-Reperfüzyon Tekniği

Deneyden 24 saat önce, 10 mg/kg dozda  $\text{GdCl}_3$  (Sigma Chemical Co., St. Louis, MO, USA) intravenöz yolla verilerek Kupffer hücre blokajı yapıldı. Deney baflangında, intramuskuler enjeksiyonla, 50 mg/kg dozda ketamine hydrochloride verilerek anestezi sağlanmış ve bir saat sonra lambas altında ratlara supin pozisyon verildi. Cilt aseptik olarak hazırlanmış ve orta hattan laparotomi yapıldı. Suya dengesini korumak amacıyla, 10 ml, ılık serum fizyolojik peritoneal boşluğuna verildi. Islak gaz ile barsaklar sola çekilerek abdominal aortaya ulaşıldı. Infrarenal abdominal aortaya (AA) travmatik olmayan bir mikrovasküler klemp (vascu-statts II, midi straight 1001-532; Scanlan Int., St. Paul, MN, USA) konuldu. İsteğe bağlı kaybına en az miktara indirmek için batın insizyonu kapatıldı. Otuz dakika sonra batın açılarak AA'daki mikrovasküler klemp kaldırıldı ve 60 dakika süreyle reperfüzyon sağlanmıştır. Reperfüzyon sonrası, tüm ratlar anestezi altında sakrifiye edildi ve böbrekleri abdomenden çıkartıldı. Böbrekler, biyokimyasal incelemeler yapılmaya kadar  $-78^{\circ}\text{C}$  de saklandı. Aynı zamanda diliminde, laparotomi sonrası AA diseksiyonu yapılmış AA okluzyonu yapılmayan ratlar (sham) deney için kontrol grubu olarak kabul edildi.

### Deneý Modeli

Ratlar, eftit sayda ( $n = 8$ ) ve rast gele olarak dört deney grubundan birine dahil edildi:

Grup 1 (SHAM): Laparotomi ve <AA diseksiyonu yap›ld› ancak <AA oklüzyonu yap›lmad›.

Grup 2 (SHAM + KHB): Sham laparotomi ve Kupffer hücre blokaj› yap›ld›.

Grup 3 (A-R): Aortik iskemi reperfüzyon yap›ld›.

Grup 4 (A-R + KHB): Aortik iskemi-reperfüzyon ve Kupffer hücre blokaj› yap›ld›.

### Biyokimyasal İşlemler

Dondurulmufl böbrek doku örneklerinin ar›rl›klar› ölçüldü ve buz banyosunda, %0.05 sodium azide içeren 100 mmol/L fosfat tamponu (pH 7.4) içinde homojenize edildi (Ultra Turrax T25, Almanya) (1:10, w/v). Homojenat 30 dakika süreyle sonike edildi (Bandelin, Almanya) ve ard›ndan santrifüj edildi (10 dakika boyunca 5000 g). Elde edilen süpernatanlar, biyokimyasal incelemeler için kullan›lncaya kadar -78°C de saklandı. Süpernatan›n protein içeri¤i Lowry yöntemi ile saptand›<sup>(9)</sup>.

### Malondialdehit Ölçümü

Reperfüzyon süreci sonunda artan serbest radikal yap›m›n›n bir göstergesi olan malondialdehit (MDA) düzeyleri, Draper ve Hadley'in çift s›rtma yöntemi ile saptand›<sup>(10)</sup>. Yöntemin temeli, thiobarbituric asidin (TBA) MDA ile reaksiyonu s›ras›nda olusan rengin spektrofotometrik ölçümüdür. Bu amaçla, her bir santrifüj tüpünde, 0.5 ml süpernatana 100 g/L trichloroacetic asitten 2.5 mL eklendi ve tüpler 15 dakika süreyle kaynam›lsu banyosuna konuldu. Tüpler, musluk suyunda so¤utuluktan sonra, 10 dakika boyunca 1000 g h›zda santrifüj edildi. Bir test tüpünde, 2 mL süpernatan 1 mL 6.7 g/L TBA solusyonuna eklendi ve tüp 15 dakika süreyle kaynam›lsu banyosuna konuldu. Solusyon musluk suyunda so¤utuluktan sonra 532 nm'de bir spektrofotometre (Shimadzu UV-1601) kullan›larak absorbans› ölçüldü. MDA konsantrasyonu, MDA-TBA kompleksinin ekstinksyon katsayıs› kullan›larak hesapland› (ekstinksyon katsayıs›  $\epsilon = 1.56 \times 10^5 \text{ cm}^{-1} \cdot \text{M}^{-1}$ ) ve (nmol/mg protein) olarak ifade edildi.

### Myeloperoksidaz Aktivitesi Ölçümü

Dokuda poli morfo nükleer lökosit (PMNL) birikiminin hassas bir göstergesi olan myeloperoksidaz (MPO) aktivitesi, myeloperoksidaz›n katalize etti¤i, H<sub>2</sub>O<sub>2</sub> ba¤›ml› tetrametylbenzidine oksidasyonu kullan›larak saptand›<sup>(11)</sup>. Böbrek örnekleri 1 g olarak tart›ld› ve %0.5 hexadecyltrimethylammonium bromide (Sigma, USA) ile 9 ml 50 mM potasyum fosfat tamponu (pH 6) içine koyuldu. Örnekler, buz banyosunda 20 saniye süreyle homojenize edildi (Ultra-Turrax T25, Almanya). Homojenat 30 saniye süreyle sonike edildi (Bandelin Sonopuls UW 2070, Almanya) ve 4°C de, 12000 g h›zla, 15 dakika süreyle santrifüj edildi. MPO aktivitesi 460 nm'de absorbansta olusan de¤ifliklik ölçülerek saptand›. Kullan›lan tampon içerisinde, 50 mM potasyum fosfat, pH 6.0 (50 ml), 0.38 ml H<sub>2</sub>O<sub>2</sub> (%0.3 solusyon; Sigma, USA) ve 8.34 mg 0-dianisidine hydrochloride (Sigma, USA) vard›. Süpernatan 1:80 (süpernatan:tampon) oran›nda karft›rıldı. MPO birimi  $\Delta\text{A}/\text{dakika/g doku}$  olarak ifade edildi.

### Süperoksit Dismutaz Aktivitesi Ölçümü

Süperoksit dismutaz (SOD) aktivitesi, Spitz ve Oberley (12) ve Woolliams'a<sup>(13)</sup> ait yöntemler kullan›larak ölçüldü. SOD aktivitesinin tayini, 2-(4-iodofenol)-3-(4-nitrofenol) -5-feniltetrazoliumklorid ile reaksiyona girerek k›rm›z› bir formazan boya olufluran süperoksit radikallerini üreten ksantin ksantin oksidaz reaksiyonu temel al›narak yap›ld›. SOD aktivitesi bu reaksiyonun inhibisyon derecesi olarak saptand›. Sonuçlar (U/mg protein) olarak ifade edildi.

### Katalaz Aktivitesi Ölçümü

Katalaz (KAT) aktivitesi, Aebi'nin yöntemine göre ölçüldü<sup>(14)</sup>. Bu yöntemin prensibi, hidrojen peroksiden (H<sub>2</sub>O<sub>2</sub>) parçalanma h›z›n›n h›z sabitinin ( $s^{-1}$ , k) belirlenmesi esas›na dayan›r. H›z sabiti,  $k=(2.3/\Delta t)(a/b) \log(A_1/A_2)$  formülü kullan›larak hesapland›. Formülde; A<sub>1</sub>: 0. saniye, A<sub>2</sub>: 15. saniye absorbans de¤erlerini, a: dilusyon faktörü, b: süpernatan›n protein içeri¤ini göstermektedir. Sonuçlar, (k/mg protein) olarak ifade edildi.

### **Istatistiksel Analiz**

Veriler ortalama ± standart sapma (S.S.) olarak sunuldu. Gruplar arasında farklar tek yönlü ANOVA ve post hoc Tukey'in honestly anlamlı fark testi kullanılarak saptandı. Anlamlılık düzeyi  $p < 0.05$  olarak kabul edildi. İstatistiksel analiz için SPSS (SPSS 10.01, SPSS Inc. Chicago, IL, USA) bilgisayar programı kullanıldı.

### **BULGULAR**

Böbrek örneklerinde, her bir grup için, MPO ( $\Delta A/\text{dakika/g doku}$ ), SOD (U/mg protein) ve KAT (k/mg protein) aktiviteleri ve MDA (nmol/mg protein) düzeyleri tablo 1 ve grafik 1'de verilmüştür. Üç gruba (SHAM, SHAM+KHB ve A|R+KHB) ait olan MPO,

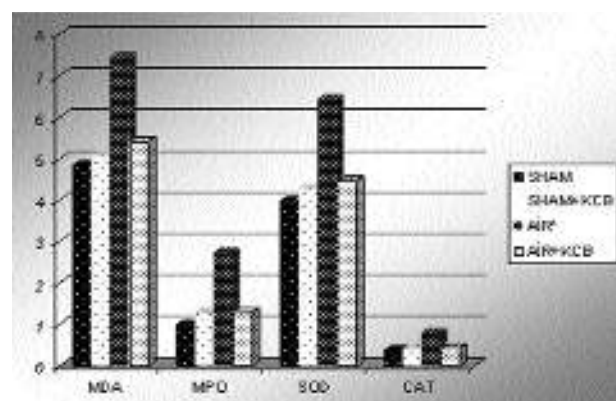
SOD, KAT aktiviteleri ve MDA düzeyleri birbiri ile karşılaştırıldığında gruplar arasında istatistiksel olarak anlamlı fark saptanmadı ( $p > 0.05$ ). A|R grubu diğer üç grup ile karşılaştırıldığında, A|R grubuna ait MPO, SOD, KAT aktiviteleri ve MDA düzeyi istatistiksel olarak anlamlı derecede daha yüksekti ( $p < 0.05$ ).  $GdCl_3$  ile Kupffer hücre blokajı yapılan A|R+KHB grubu, A|R grubu ile karşılaştırıldığında ise, A|R+KHB grubuna ait MPO, SOD, KAT aktiviteleri ve MDA düzeyi istatistiksel olarak anlamlı derecede daha düşük bulundu ( $p < 0.05$ ). Bunun yanında, A|R+KHB grubuna ait MPO, SOD, KAT aktiviteleri ve MDA düzeyi kontrol grubu (SHAM) ile karşılaştırıldığında aradaki fark istatistiksel olarak anlamlı değildi ( $p > 0.05$ ).

### **TARTIŞMA**

Aort cerrahisi sonrası gelişen böbrek yetmezliğinin patogenezinde A|R hasarı önemli bir rolü vardır<sup>(2)</sup>. Bu deneysel çalışmada,  $GdCl_3$ , Kupffer hücre blokajı oluşturarak, rat infrarenal A|R modelinde, böbreklerde oluşan iskemi reperfüzyon hasarı azaltılmış bulundu. Çalışmamızda,  $GdCl_3$  ile Kupffer hücre blokajı, infrarenal aortik okluzyon-reperfüzyon sonrası, rat böbreklerinde, MPO, SOD, KAT aktiviteleri ve MDA düzeyini istatistiksel olarak anlamlı derecede düflirmüştür.

A|R hasarı oluflumunda, serbest oksijen radikalleri önemli bir yer tutar<sup>(15,16)</sup>. Moleküler oksijenin hücre içinde oksidatif enzimler tarafından indirgenmesi ile serbest oksigen radikalleri oluflur. En önemli üç serbest oksijen radikali; süperoksit ( $O_2^-$ ), hidrojen peroksit ( $H_2O_2$ ) ve hidroksil iyonlarıdır ( $OH^-$ ). Süperoksit radikali, normal hücre metabolizmasında, mitokondrial, endoplazmik retiküler ve nükleer membran elektron transport iflemleri sırasında oluşan bir ara ürünüdür. Skemik kofullarda ise, hipoksantin ve ksantin katabolizması sırasında ksantin oksidaz enziminin katalize ettiği bir reaksiyonla oluflur<sup>(17)</sup>. Süperoksit radikalinden, SOD enziminin katalizlediği bir reaksiyonla  $H_2O_2$  oluflur.  $H_2O_2$  de, katalaz ve glutatyon peroksidaz enzimleri ile  $H_2O$  ve  $C_2O$ 'e dönüftürülerek inaktive edilir. SOD, KAT ve glutatyon peroksidaz, serbest oksijen radikallerine karşı önemli

Gruplar (n = 8)	MDA (nmol/mg protein)	MPO ( $\Delta A/\text{dakika}/\text{g doku}$ )	SOD (U/mg protein)	CAT (k/mg protein)
SHAM	4.83±0.42	0.99 ± 0.27	3.96 ± 0.39	0.37 ± 0.96
SHAM + KHB	5.06±0.25	1.26 ± 0.27	4.26 ± 0.26	0.39 ± 0.82
A R	7.43±0.35*	2.72 ± 0.24*	6.42 ± 0.29*	0.79 ± 0.51*
A R + KHB	5.42±0.23	1.29 ± 0.25	4.47 ± 0.37	0.43 ± 0.85



**Grafik 1:** SHAM: Sham laparotomi,  
KHB: Kupffer hücre blokajı,  
A|R: Aortik iskemi reperfüzyon,  
MDA: Malondialdehyde (nmol/mg protein),  
MPO: Myeloperoksidaz ( $\Delta A/\text{dakika/g doku}$ ),  
SOD: Süperoksit dismutaz (U/mg protein),  
CAT: Katalaz (k/mg protein)  
\* $p < 0.05$  (diğer gruplarla karşılaştırıldığında).

hücre içi enzimatik savunma sistemleridir. Çalışmamızda, A-R grubuna ait SOD ve KAT aktiviteleri diğer üç grupta karflaftırıldı ve anlamlı derecede daha yüksek bulundu (Tablo 1). Bununla ilgili olarak, dokuda SOD ve KAT düzeylerinin ölçülmesi inaktive edilen serbest oksijen radikal miktarına ilişkin biriktiğine göre beklenebilir.

Serbest oksijen radikalleri aracılıyla oluşan lipid peroksidasyonu, hücre membran hasarıının önemli bir nedenidir, membran geçirgenliğini etkileyerek hücre içinde afşır  $\text{Ca}^{+2}$  birikmesine yol açar<sup>(18,19)</sup>. Hücre membran disfonksiyonu da, hücre fistilmesi ve hücre ölümü ile sonuçlanır. MDA, lipid peroksidasyonunda bir son ürünüdür ve oksidatif hasarı düzeyini göstermede kullanılmaktadır<sup>(20,21,22)</sup>. Çalışmamızda, A-R grubuna ait MDA düzeyi diğer üç grupta karflaftırıldı ve anlamlı derecede daha yüksek bulundu (tablo 1). MDA düzeyleri ile lipid peroksidasyonunun doğru orantılı olmasının beklenebilir.

Nötrofil infiltrasyonunun, barsak, kalp, beyin, karaciğer ve böbrek gibi birçok organda R hasarında olumlu olumsuz bir role sahip olduğunu göstermektedir<sup>(4,23)</sup>. MPO aktivitesi, polimorfonükleer lökosit (PMNL) infiltrasyonun bir göstergesi olarak kullanılmaktadır<sup>(24)</sup>. R hasarı sonrasında MPO düzeyleri, oluşan PMNL infiltrasyonu nedeniyle artabilir. Biz de, A-R grubuna ait MPO düzeylerini diğer üç gruba göre anlamlı derecede yüksek bulduk.

Bu çalışmada, A-R grubunda, MPO, SOD, KAT aktiviteleri ve MDA düzeyinin anlamlı derecede yüksek olması, infrarenal A-R sonrası renal hasar oluşumu sonrasında serbest oksijen radikalleri, lipid peroksidasyonu ve nötrofil infiltrasyonunda artış olduğunu düftürmektedir. A-R + KHB grubunda, A-R grubuna göre, MPO, SOD, KAT aktiviteleri ve MDA düzeyinin anlamlı derecede daha düşük olması ise,  $\text{GdCl}_3$  ile Kupffer hücre blokajının, serbest oksijen radikalleri, lipid peroksidasyonu ve nötrofil infiltrasyonunda azalma yoluyla infrarenal A-R sonrası renal hasarını azaltması ile açıklanabilir.

Kupffer hücreleri, karaciğerde yer alan makrofaj hücreleridir. Kupffer hücreleri, PMNL ve endotel hücrelerinin aktivasyonu, hepatik R hasar-

patogenezinde kritik basamaklardır<sup>(25)</sup>. Hepatik R sonrasında erken dönemde aktive olan Kupffer hücrelerinden, serbest oksijen radikalleri, interlökin-1 (IL-1), interlökin-6 (IL-6) ve tümör nekrozis faktör alfa (TNF- $\alpha$ ) salınmaktadır<sup>(26,27)</sup>. İlkinci hasar fazında ise, Kupffer hücrelerinden salınan proinflamatuar sitokinlerin nötrofil aracılıkla doku hasarı gelişiminde önemli olduğunu düftürmektedir<sup>(27,28)</sup>. Kupffer hücreleri R hasarı sonrasında oksidan stresin önemli bir kaynağı ise, Kupffer hücrelerinin fonksiyonlarının durdurulması R hasarına azaltılabilir. Mosher ve ark.,  $\text{GdCl}_3$  ile Kupffer hücre blokajının deneyel karaciğer R modelinde karaciğer hasarı azalttı<sup>(29)</sup> ve bildirmiştir<sup>(27)</sup>. Ayrıca,  $\text{GdCl}_3$  ile Kupffer hücre blokajı yolu ile, R sonrasında uzak doku hasarında önlenebileceği de öne sürülebilir.  $\text{GdCl}_3$  ile Kupffer hücre blokajının, intestinal iskemi-reperfüzyonun indüklediği akut akciğer hasarı azalttı<sup>(29)</sup> ve gösterilmisti<sup>(7)</sup>. Ancak,  $\text{GdCl}_3$  ile Kupffer hücre blokajının, infrarenal aortik iskemi reperfüzyon sonrası renal hasara olan etkisi henüz araştırılmıştır. Çalışmamız,  $\text{GdCl}_3$ 'ün, deneyel infrarenal aortik okluzyon-reperfüzyon modelinde uzak organ R hasarına azalttı<sup>(29)</sup> gösteren ilk çalışma olmasına açısından önemlidir.

TNF- $\alpha$  ve IL-6, intestinal R sonrasında akciğer hasarına yol açan inflamatuar yanıtta temel sitokinlerdir<sup>(7)</sup>. Bu sitokinlerin, R'a bağlı uzak organ hasarı sonrasında önemli iflevi vardır. Hepatik R hasarı sonrasında da, erken dönemde Kupffer hücrelerinden TNF- $\alpha$  ve IL-6 salındığı bilinmektedir<sup>(27)</sup>. Bununla ilgili olarak,  $\text{GdCl}_3$  ile Kupffer hücre blokajının, Kupffer hücreleri tarafından dolaylı olarak proinflamatuar sitokinlerin miktarını azaltarak, böbrekleri R'a bağlı R hasarından koruduğunu düftürmektedir.

İskemi sonrasında adenozin trifosfat (ATP) düzeyleri azalır, adenozin monofosfat (AMP) düzeyleri artar. AMP katabolize olarak adenozin, inozin ve hipoksantin oluşumunu sağlar. Hipoksantin ve ksantin de, ksantin oksidaz enziminin kataliz etiği bir reaksiyonla  $\text{O}_2^-$  oluşturur. Ksantin oksidaz (XO), iskemik dokuda serbest radikal oluşumunu sürecinde temel rol sahiptir. Ayrıca, postiskemik reperfüzyon hasarında önemli bir faktör

olduğu gösterilmiftir<sup>(29)</sup>. Vega ve ark. tarafndan yapılan bir deneysel çalışma, iskemik kalan ekstremiteden reperfüzyon srasnda salnan XO'n karaciğer tarafndan dolabmdan alnd, Kupffer hücre ve PMNL aktivasyonuna aracılık etti ve bu yolla uzak organ hasar oluflumuma katkıda bulunduunu desteklemektedir<sup>(30)</sup>. *<n*frenal aorta okluzyon-reperfüzyon modelinde de alt ekstremitete iskemi reperfüzyonu oluflmaktadır. GdCl<sub>3</sub> ile Kupffer hücre blokaj, R'a uframfl alt ekstremitelerden kaynaklanan XO'n, Kupffer hücrelerini aktive etmesini ve sonuça renal hasar oluflumasn engellemiflabilir.

Sonuç olarak, bu deneysel çalışma göstermiftir ki, GdCl<sub>3</sub>, Kupffer hücre blokaj oluflurarak, rat infrarenal A'R modelinde, böbreklerde oluflan iskemi reperfüzyon hasarın azaltır. Bunun yannda, A'R sonrasında uzak organ hasarına iliskin mekanizmlar hala tam olarak anlaflmfl deyildir. Bu hasar azaltmaya yönelik daha ileri tedavi yaklaflmlar geliftirebilmek için yeni klinik ve deneysel çalışmalar gereksinim vardır.

## KAYNAKLAR

- Joyce M, Kelly C, Winter D et al. Pravastatin, a 3-hydroxy-3-methylglutaryl coenzyme A reductase inhibitor, attenuates renal injury in an experimental model of ischemia-reperfusion. *Journal of Surgical Research* 2001; 101: 79-84.
- Gelman S. The pathophysiology of aortic cross-clamping and unclamping. *Anesthesiology* 1995;82:1026-1060.
- Pararajasingam R, Weight SC, Bell PRF et al. Prevention of renal impairment following aortic cross-clamping by manipulation of the endogenous renal nitric oxide response. *Eur J Vasc Endovasc Surg* 2000;19:396-399.
- Sakamoto N, Sun Z, Brengman M et al. Hepatic reticuloendothelial system dysfunction after ischemia-reperfusion: Role of P-selectin-mediated neutrophil accumulation. *Liver Transplantation* 2003;9:940-948.
- Frankenberg M, Weimann J, Fritz S et al. Gadolinium chloride-induced improvement of postischemic hepatic perfusion after warm ischemia is associated with reduced endothelin secretion. *Transplant International* 2005;18:429-436.
- Chung KY, Jeong GY, Choi KB et al. Prevention of primary nonfunction after canine liver allotransplantation: The effect of gadolinium chloride. *Transplantation Proceedings* 2004;36:1928-1930.
- Savas MC, Ozguner M, Ozguner IF et al. Splenectomy attenuates intestinal ischemia-reperfusion-induced acute lung injury. *J Pediatr Surg* 2003;38:1465-70.
- Okutan H, Savas C, Ozguner IF et al. Lung injury after aortic occlusion-reperfusion in rats: the role of gadolinium chloride. *Tohoku J Exp Med* 2004;203:267-273.
- Lowry OH, Rosebrough NJ, Farr AL et al. Protein measurement with the Folin phenol reagent. *J Biol Chem* 1951;193:265-275.
- Draper HH, Hadley M. Malondialdehyde determination as index of lipid peroxidation. *Methods Enzymol* 1990;186:421-431.
- Tullis MJ, Brown S, Gewertz BL. Hepatic influence on pulmonary neutrophil sequestration following intestinal ischemia-reperfusion. *J Surg Res* 1996;66:143-146.
- Spitz DR, Oberley LW. An assay for superoxide dismutase activity in mammalian tissue homogenates. *Anal Biochem* 1989;179:8-18.
- Wooliams JA, Wiener G, Anderson PH et al. Variation in the activities of glutathione peroxide and superoxide dismutase and in the concentration of copper in the blood in various breed crosses of sheep. *Research in Veterinary Sciences* 1983;34:253-256.
- Aebi Y. Catalase in vitro. *Methods Enzymol* 1984;105:12-126.
- Slater TF. Free radical mechanisms in tissue injury. *Biochem J* 1984; 222: 1-15.
- Traystman RJ, Kirsch JR, Koehler RC. Oxygen radical mechanisms of brain injury following ischemia and reperfusion. *J Appl Physiol* 1991; 71: 1185-1195.
- Vento AE, Ramö OJ, Nemlander AT et al. Nitecapone is of benefit to functional performance in experimental heart transplantation. *Res Exp Med* 1997;197:137-146.
- Folden DV, Gupta A, Sharma AC et al. Malondialdehyde inhibits cardiac contractile function in ventricular myocytes via a p38 mitogen-activated protein kinase-dependent mechanism. *Br J Pharmacol* 2003; 139:1310-1316.
- Kacmaz A, Polat A, User Y et al. Octreotide improves reperfusion-induced oxidative injury in acute abdominal hypertension in rats. *Journal of Gastrointestinal Surgery* 2004; 8: 113-119.
- Okutan H, Savas C, Delibas N. The antioxidant effect of melatonin in lung injury after aortic occlusion-reperfusion. *Interactive CardioVascular and Thoracic Surgery* 2004; 3: 519-522.
- Bozkurt A.K. Deneysel iskemi-reperfüzyon hasarın önlenmesinde pentoksifillinin rolü. *Damar Cerrahisi Dergisi* 2001; 3: 101-104.
- Nielsen F, Mikkelsen BB, Nielsen JB et al. Plasma malondialdehyde as biomarker for oxidative stress: reference interval and effects of life-style factors. *Clinical Chemistry* 1997; 43: 1209-1214.
- Suleiman M, Cury PM, Pestana JOM et al. FTY 720 prevents renal T-cell infiltration after ischemia/reperfusion injury. *Transplantation Proc* 2005; 37: 373-374.
- Chatterjee PK, Todorovic Z, Sivarajah A et al. Inhibitors of calpain activation (PD150606 and E-64) and renal ischemia-reperfusion injury. *Biochemical Pharmacology* 2005; 69: 1121-1131.
- Kupiec-Weglinski JW and Busuttil RW. Ischemia and reperfusion injury in liver transplantation. *Transplantation Proceedings* 2005; 37: 1653-1656.
- Sindram D, Porte RJ, Hoffman MR et al. Synergism between platelets and leukocytes in inducing endothelial cell apoptosis in the cold ischemic rat liver: a Kupffer cell-mediated injury. *The FASEB Journal* 2001; 15: 1230-1232.
- Mosher B, Dean R, Harkema J et al. Inhibition of Kupffer cells reduced CXC chemokine production and liver injury. *J Surg Res* 2001; 99: 201-210.
- Jaeschke H and Farhood A. Kupffer cell activation after no-flow ischemia versus hemorrhagic shock. *Free Rad Biol Med* 2002; 33: 210-219.
- Yamazaki I, Soma T, Ichikawa Y et al. Usefulness of allopurinol for prevention of myocardial reperfusion injury in open heart surgery. *Nippon Kyobu Geka Gakkai Zasshi* 1995; 43: 26-31.
- Vega VL, Mardones L, Maldonado M et al. Xanthine oxidase released from reperfused hind limbs mediate Kupffer cell activation, neutrophil sequestration, and hepatic oxidative stress in rats subjected to tourniquet shock. *Shock* 2000; 14: 565-571.